

매립된 유체함입 강파이프의 파동전파 특성규명

Characteristics of Acoustic Waves That Propagate in Buried Iron Water Pipes

박 경 조

K. J. Park

Key Words : Acoustic Wave(파동), Water borne mode(수인성 모드), Buried water pipes(매립된 유체함입 파이프)

Abstract : A study of the possible axisymmetric modes that propagate at low frequencies in buried, water-filled iron pipes is presented. It is well known that for a vacuum-pipe-vacuum system the sole non-torsional axisymmetric mode that exists at low frequencies is the fundamental $L(0,1)$ mode. When a pipe is filled with water and still surrounded by a vacuum it is also known that another mode then appears which at low frequencies is characterized by predominantly axial water-borne displacements. In addition to these modes, this paper explores two other, less well known axisymmetric modes whose existence depends on the acoustic properties of the outer medium that surrounds a pipe. In this paper the predicted characteristics of these modes are presented.

1. 서 론

셀구조물을 따라 진행하는 유도파(guided wave)에 대한 연구가 최근 활발하게 이루어지고 있다. 전공 상태에 놓여있는 실린더의 조화파동에 대한 일 반해는 Gazis¹⁾에 의해 구하여졌다. 내부에 유체가 차있는 실린더에서의 파동전파는 Morse²⁾에 의해 시작되었고, 최근에는 Sinha et al.³⁾, Plona et al.⁴⁾ 그리고 Aristegui et al.⁵⁾ 등에 의해 유체에 잠겨있거나, 내부에 유체가 차있는 파이프에 대한 연구가 수행되었다. 본 논문에서는 유체가 차있는 파이프가 토양에 묻혀있는 경우의 파동전파를 다루고자 한다. 즉 묻혀있는 유체파이프를 따라 누수잡음(leakage noise)이 일정 거리 이상을 전파할 때의 모드 형태를 분석하고자 한다. 분석결과는 음향신호해석에 의한 누수 위치탐사 기법을 개선하는데 사용될 수 있을 것이다.

Listons⁶⁾은 누수의 특성에 따라, 누수잡음의 가진 주파수 대역폭이 0.02에서 1kHz 사이에서 변화한다고 주장하였다. 측정점에서 누수위치까지의 거리 $d/2$ 는 누수잡음이 비분산속도 V 로 전파된다고 가정하면

쉽게 계산할 수 있다. 그러나 실제로는 파이프의 직경이 커질수록 누수위치를 정확하게 탐지해내는 것은 점점 더 어려워지고, 이로부터 누수잡음이 단일, 비분산모드로 전파된다고 가정하는 것은 합리적이지 않다는 사실을 알 수 있다. 누수잡음 상관기(leak noise correlator)를 사용할 때 발생하는 누수위치 탐지의 부정확성에 대해서는 Hunaidi et al.⁷⁾이 연구하였다. 이 연구결과로부터 신호의 분산특성을 고려하지 않으면 상관함수에 잡음이 섞이게 되어 확실한 피크를 구분해내지 못하는 효과를 유발한다는 사실을 알 수 있다.

Long et al.^{8,9)}은 땅 속에 묻혀있는 강철 수도관을 따라 전파되는 모드의 주요성분은, 저주파수에서 축방향 수인성(water-borne) 변위를 갖는 모드임을 발견하였다. 현재 사용되고 있는 음향신호에 의한 누설위치 탐지방법은 저주파수에서의 이 수인성 분산모드의 접근속도(asymptotic velocity)를 갖는 단일 비분산모드가 전파된다고 가정하고 누설위치를 계산한다. 본 논문에서는 이 모드 외에 잘 알려지지 않은 두 개의 축대칭 모드를 발견하고 그 특성을 조사하고자 한다. 이 모드들은 파이프가 묻혀있는 외부 매체의 음향특성에 따라 존재여부가 결정되는 파동들이다. 이러한 모드들의 특성을 예측하고 묻혀있는 수도관을 따라 어느 거리까지 전파할 수 있는지를 살펴본다. 그리고 예측결과를 실험결과와 비교

접수일 : 2005년 8월 31일

박경조(책임저자) : 여수대학교 공과대학 기계자동차공학부
E-mail : kjpark@yosu.ac.kr

하여 본 논문에서 제시한 방법의 타당성을 검토하고자 한다.

2. 축대칭 모드

묻혀있는 유체함유 파이프를 전파하는 실제 파동의 특성은 영국 Imperial College에서 개발한 파동해석 소프트웨어 Disperse^{®10)}를 사용하였다. 묻혀있는 파이프의 경우 전파되는 파동의 특성은 파이프의 재료나 형상 그리고 외부 매체의 음향특성에 따라 달라진다. Fig. 1은 대상 파이프(직경 10인치 단조강 파이프(벽두께=16mm))의 예측된 위상속도 선도를 나타내고 있다. 그림에서 점선은 파이프 내, 외부가 모두 진공상태에 놓여져 있는($v-p-v$), 잘 알려진 위상속도 선도를 나타낸다. 그림에서 $L(0,1)$ 은 첫 번째 축대칭 모드를, $L(0,2)$ 는 두 번째 축대칭 모드를 나타낸다.

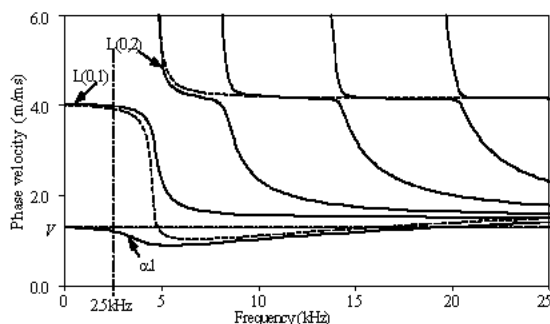


Fig. 1 Phase velocity dispersion curves
(solid line : w-p-v, dashed line : v-p-v)

내부에 유체가 함유되어 있고 외부는 진공으로 둘러싸인($w-p-v$) 파이프에 대한 분산속도는 Fig. 1에 실선으로 나타내었다. $L(0,1)$ 모드는 ($v-p-v$)의 경우와 유사한 특성을 갖지만, ($v-p-v$)에서는 나타나지 않았던 새로운 모드 $\alpha 1$ 이 나타나는 것을 볼 수 있다. $\alpha 1$ 모드는 축대칭이고 저주파수에서의 변위는 축방향, 수인성이다. Fig. 1의 아래쪽에 점선으로 표시한 수평선은 $\alpha 1$ 모드 위상속도의 저주파수 점근선(V)을 나타내는데, 속도 V 는 Pinnington과 Briscoe¹¹⁾가 유도한 비분산 누수잡음속도에 해당된다.

$$V = \frac{C_L}{\left[1 + \frac{Bva}{Eh} \right]^{1/2}} \quad (1)$$

여기서 C_L 은 유체의 종방향 벌크속도(longitudinal

bulk velocity)¹²⁾이고, B 는 유체의 벌크 탄성계수(bulk modulus), E 와 v 는 파이프 구성 재료의 영계수와 포화송비이다. a 는 파이프의 내경이고 h 는 파이프의 두께이다. 수식으로부터 V 는 진공으로 둘러싸인 유체함유 파이프의 축방향을 따라 전파되는 장파장(long wavelength), 수인성 평면파(plane wave)에 관련된 속도임을 알 수 있다. 주파수 2.5kHz에 나타낸 수직 일점쇄선은 신호측정 시, 허용 가능한 신호잡음비(signal-to-noise ratio)를 갖는 신호의 주파수 상한선을 나타낸다.

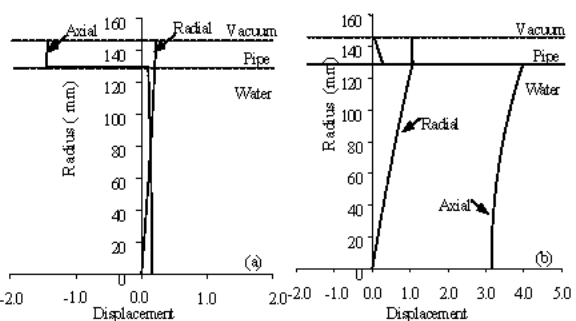


Fig. 2 Axial and radial mode shapes obtained from Fig. 1 at 2.5 kHz for (a)L(0,1), (b) $\alpha 1$

Fig. 2(a), (b)에는 2.5kHz에서의 $L(0,1)$ 과 $\alpha 1$ 모드의 정규파워 모드형상(power normalized mode shape)을 나타내었다. 그림에서 알 수 있듯이 $L(0,1)$ 모드의 축방향 변위는 주로 파이프 벽면에서 발생한다. $L(0,1)$ 모드의 감쇠는 파동이 조인트(joint)나 피팅(fitting)을 만났을 때 발생하는 파동산란(wave scattering)에 부분적으로 기인하고, 또 파이프가 토양에 의해 둘러싸였을 때 발생하는 에너지누설에 의해에서도 발생한다. 유도파의 위상속도가 토양의 벌크 속도보다 클 때 에너지누설이 발생하는데, $L(0,1)$ 모드의 경우 실제의 모든 토양에 대해 이 조건을 만족한다. $\alpha 1$ 모드의 축방향 변위는 주로 파이프 내부를 채우고 있는 유체에서 발생하는 것을 알 수 있다.

유체를 함유하고 있는 파이프가 토양에 의해 둘러싸여있을 때 ($w-p-s$)의 분산선도를 조사하였다. 이때 토양은 전단력을 지지하지 못하는 것으로 가정하였다. 분산선도 예측에 사용된 재료의 특성은 Table 1에 나타내었다. 표에서 p 는 밀도, C_L 는 종방향 속도, C_s 는 전단속도(shear velocity)를 나타낸다. 토양의 종방향 벌크속도가 $\alpha 1$ 모드의 저주파수 점근 속도보다 작을 때($C_L soil < V$)의 위상속도 선도는 Fig. 3에 나타내었다. 진공상태에 놓여있는 경우와

마찬가지로 $\alpha 1$ 모드가 나타나게 되고 C_L soil의 전범 위에 걸쳐 존재하는 것을 알 수 있다.

Table 1 Material properties

Material	Density $\rho(\text{g}/\text{cm}^3)$	$C_L(\text{m/s})$	$C_S(\text{m/s})$
water	1.0	1480	0
Cast iron pipe	7.1	4500	2500
C_L soil $< V$	1.0	900	0
C_L soil $> V$	1.0	1750	0

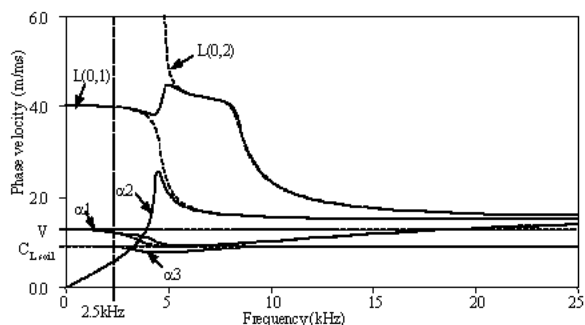


Fig. 3 Phase velocity dispersion curves
(solid line : w-p-s(CL soil $< V$), dashed line : w-p-v)

한편 $L(0,1)$ 모드는 저주파수에서는 ($w-p-v$)의 곡선을 따라가지만, 최대 감쇠가 발생하는 주파수 영역에서는 $L(0,2)$ 모드로 건너뛰어, 이후 주파수가 증가함에 따라 $L(0,2)$ 모드를 따르는 것을 알 수 있다. 고주파수에서 ($w-p-v$)에 대한 $L(0,1)$ 곡선을 따르는 $\alpha 2$ 모드가 나타나는 것을 그림으로부터 확인할 수 있다. 이 토양모델의 경우 저주파수에서 $\alpha 2$ 모드의 위상속도는 0이 되기 때문에, 이 영역에서 고감쇠가 발생하고 따라서 실제로 파동이 전파될 수 없다는 사실을 알 수 있다. 위상속도가 C_L soil $< V$ 일 때 새로운 모드 $\alpha 3$ 가 나타나게 된다. 저주파수와 고주파수에서 $\alpha 3$ 의 위상속도는 C_L soil에 점근적으로 접근함을 알 수 있다.

Fig. 3에서 주파수 2.5kHz일 때 전파되는 모드들의 모드형상을 Fig. 4에 나타내었다. $\alpha 1$ 모드의 경우 Fig. 2(b)의 ($w-p-v$)와 마찬가지로 변위는 주로 파이프 내의 유체에서 발생함을 알 수 있다. 파이프 벽면을 벗어나 토양으로 전파되는 변위가 요동하는 것으로부터, $\alpha 1$ 모드는 이 토양모델에 대해 누설 특성을 갖는다는 것을 알 수 있다. 누설에 의한 에너

지손실은 $\alpha 1$ 모드가 감쇠특성을 갖게 만드는 가장 주요한 원인이다. $\alpha 3$ 모드의 형상은 $\alpha 1$ 모드와 다르다는 것을 Fig. 4(b)에서 확인할 수 있다. 즉 파이프 벽면을 벗어나 거리가 증가할수록 변위는 지수적으로 감소함을 알 수 있다. 이는 유체하중을 받는 평판(plate)에서 관찰된 솔트 모드(Sholte mode)¹²⁾와 유사한 특성을 갖는다.

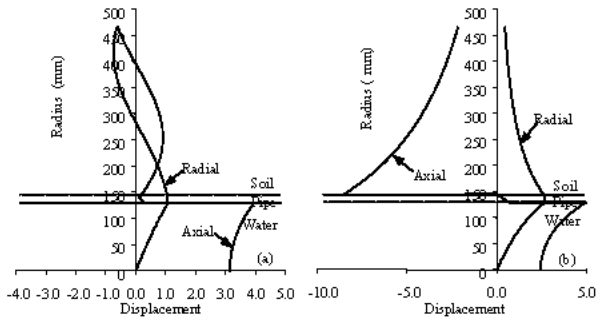


Fig. 4 Axial and radial mode shapes obtained from Fig. 3 at 2.5 kHz for (a) $\alpha 1$, (b) $\alpha 3$

위상속도가 외부 매체의 벌크속도 C_L 보다 작을 경우, 스넬의 법칙(Snell's Law)¹²⁾으로부터 에너지는 벌크파동(bulk wave)의 형태로 외부 토양으로 누설되지 않는다는 사실을 확인할 수 있다. 따라서 $\alpha 3$ 모드는 전주파수에 걸쳐 비누설 특성을 갖는다는 사실을 알 수 있다. $\alpha 3$ 모드의 특성은 외부 매체의 성질에 의해 지배된다. Fig. 3에서 저주파수에서 위상속도의 점근선이 C_L soil이라는 사실로부터 이를 확인할 수 있다. 따라서 $\alpha 3$ 모드의 감쇠는 외부 토양의 손실특성에 의해 좌우될 것이다.

토양의 특성이 C_L water $> C_L$ soil $> V$ 일 경우 $L(0,1)$ 모드의 특성은 Fig. 3에 보인 C_L soil $< V$ 토양모델에 대한 경우와 매우 유사하다. $\alpha 1$ 모드는 존재하겠지만 $\alpha 3$ 모드는 나타나지 않을 것이다. 이는 C_L soil $> V$ 이기 때문이다. $\alpha 2$ 모드의 위상속도는 주파수가 0으로 접근하면 Fig. 3의 경우와 마찬가지로 0으로 접근할 것이다. 왜냐하면 C_L soil $< C_L$ water 일 경우 항상 이러한 현상이 나타나기 때문이다.

토양의 종방향 속도가 유체의 종방향 속도보다 클 때(C_L soil $> C_L$ water) 나타나는 위상속도 분산선도를 Fig. 5에 나타내었다. $\alpha 1$ 모드는 나타나지만 $\alpha 3$ 모드는 나타나지 않는 것을 볼 수 있다. 앞의 두 경우에는 $\alpha 2$ 모드가 저주파수에서 속도 0으로 접근하였지만, Fig. 5에서는 C_L soil로 접근하는 것을 확

인할 수 있다. 주파수 2.5kHz에서 전파되는 모드들의 모드형상은 Fig. 6에 제시하였다. 토양모델이 달라졌지만 파이프나 유체 내에서의 α_1 모드의 형상은 크게 달라지지 않았음을 알 수 있다. 다만 외부 토양에서의 변위가 유통하지 않는 것으로부터 α_1 모드는 비누설 특성을 갖는다는 것을 확인할 수 있다. α_2 모드의 형상은 솔트 형태의 α_3 모드와 유사하게 토양 내에서 변위가 지수적으로 감소하는 특성을 나타내었다. α_2 모드가 저주파수에서 전파할 때는 항상 비누설 특성을 갖는다. 감쇠는 토양의 손실 특성에 의해 좌우될 것이다. 또한 α_2 모드의 경우 α_1 모드에 비해 파이프 벽면에서의 변위가 크기 때문에 산란에 의한 감쇠가 큰 문제로 대두된다.

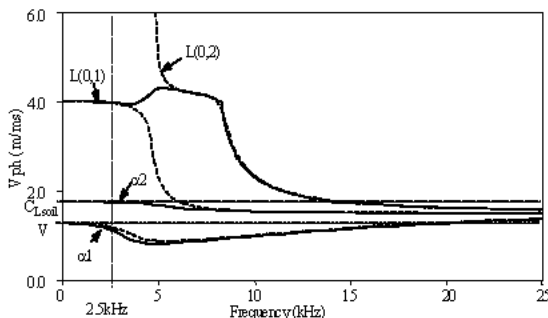


Fig. 5 Phase velocity dispersion curves (solid line : w-p-s(C_L soil > C_L water), dashed line : w-p-v)

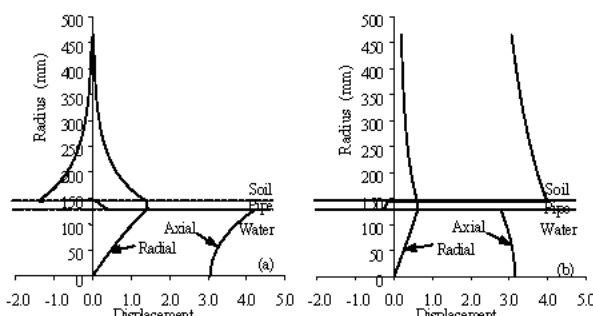


Fig. 6 Axial and radial mode shapes obtained from Fig. 5 at 2.5 kHz for (a) α_1 , (b) α_2

3. 예측 및 실험결과의 비교, 검토

앞의 2장에서 예측한 산란선도의 타당성을 검토하기 위해 세 장소의 묻혀있는 수도관에 대한 실험을 수행하였다. Fig. 7에 실험장치의 개략도를 제시하였다. 파이프에 가진장치 및 센서를 설치하기 위해 각 실험장소에서는 세 군데에서 파이프 주변의 토양을 제거하였다. 그림에서 보듯이 이 중 한 위치

에 파이프 벽면에서의 저주파수 모드(LF mode)를 가진할 수 있는 태퍼(tapper) 장치를 파이프 벽에 부착하였다. 파이프 원주방향으로 각각 네 개의 가속도계가 동일 간격으로 부착되어 있는 다른 두 위치에서 전파되는 파동을 측정하였다. 각 가속도계에서 에버리징된(averaged) 신호를 모두 더하여 한 위치에 전달되는 신호를 계산하였는데 이는 원치않는 비대칭 진동신호를 제거하기 위한 것이다. 그리고 이를 신호를 바탕으로 위상속도는 다음 식으로 계산할 수 있다³⁾.

$$V_{ph} = \frac{\omega}{k} = \frac{z\omega}{\Delta\phi(\omega)} \quad (2)$$

여기서 ω 는 주파수, k 는 파동수이다. 또한 z 는 두 측정위치 사이의 거리이고, $\Delta\phi(\omega)$ 는 입력과 출력 사이의 교차 스펙트럼(cross spectrum)의 주파수에 따른 위상을 나타낸다.

각 실험장소에서 측정한 토양특성을 Table 2에 제시하였다. 장소 1과 2에서의 토양 특성은 C_L soil < V 이고, 장소 3에서는 C_L soil > V 이다. 세 실험장소 모두 토양밀도 p 와 토양 전단속도 C_S 는 매우 유사한 특성을 갖는다.

Table 2 Soil material properties

Test site	Density p (g/cm ³)	C_L soil(%/s)	C_S soil(%/s)
1	1.95	900	80
2	2.10	350	72
3	1.95	1900	84

실험장소 1에서 수신한 시간신호를 Fig. 8에 나타내었는데 이 때 측정위치 사이의 거리 $z=9.9m$ 이었다. 이 경우처럼 파동의 전파거리가 상대적으로 짧으면 $L(0,1)$ 모드가 수신신호에 뚜렷하게 나타나게 되고 또 가장 먼저 도착하는 것을 알 수 있다. 그러나 이 모드는 측정거리가 10m 이상이 되면(Fig. 9~11) 감지할 수 없다는 것을 알 수 있다. 모든 측정결과에서 α_1 모드와 α_3 모드가 뚜렷하게 나타나는 것을 확인할 수 있다. α_3 모드의 속도는 토양의 벌크속도 C_L 과 그 크기가 일치하는데 그 값은 900%이다. 같은 실험장소에서 측정위치 사이의 거리가 175m인 경우의 수신신호가 Fig 9에 제시되어 있다. 그림에서 거리가 멀리 떨어져도 α_1 모드가 주요하게

나타나며, α_3 모드도 뚜렷하게 존재하는 것을 알 수 있다.

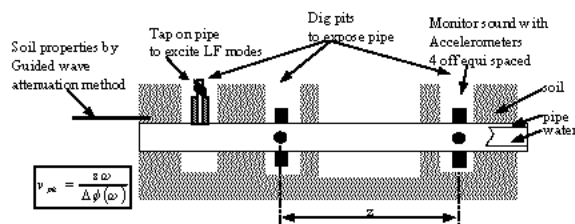


Fig. 7 Experimental setup for buried water pipes

두 번째 실험장소에서 측정위치 사이의 거리가 21.6m일 때 측정한 결과를 Fig. 10에 제시하였다. α_1 모드와 α_3 모드가 뚜렷하게 나타나는 것을 확인할 수 있으며 이때 토양의 C_L 은 350m/s로 측정되었다. Fig. 11에는 세 번째 장소에서, 측정위치 사이의 거리가 16.5일 때의 결과를 나타내었다. 이 경우 α_1 모드만 뚜렷하게 나타나는 것을 볼 수 있다. 이 장소에서의 C_L 은 1900m/s로 측정되었고, 따라서 수신 신호에 α_2 모드가 뚜렷하게 나타날 것을 예측하였다. 그러나 $L(0,1)$ 모드와 마찬가지로 α_2 모드도 파이프 조인트에서의 분산에 의한 감쇠 때문에 대부분의 신호가 소멸되어 나타나지 않는다는 것을 확인할 수 있었다.

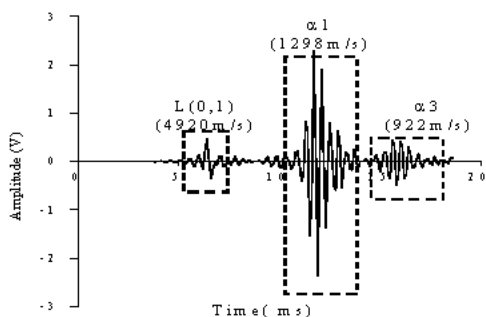


Fig. 8 Time trace for site 1 where $z=9.9\text{m}$

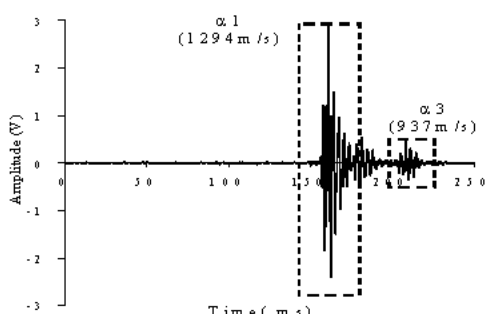


Fig. 9 Time trace for site 1 where $z=175\text{m}$

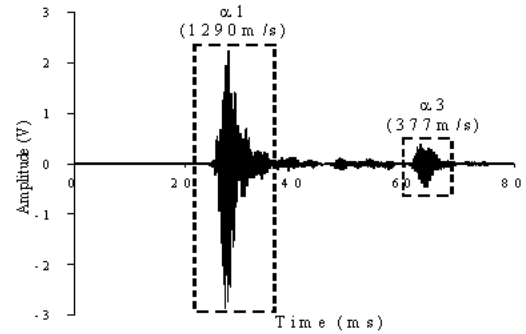


Fig. 10 Time trace for site 2 where $z=21.6\text{m}$

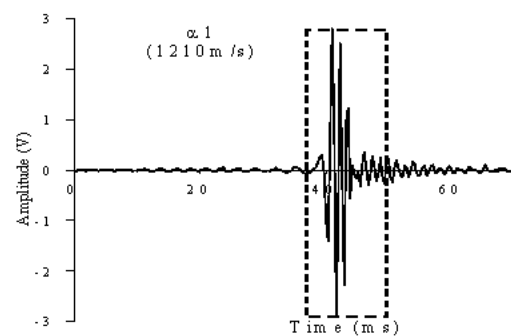


Fig. 11 Time trace for site 3 where $z=16.5\text{m}$

4. 결 론

토양 속에 묻힌 유체함입 강파이프의 축대칭모드 특성을 규명하였다. 기본 모드인 $L(0,1)$ 모드와 α_1 모드는 주변 토양특성과 상관없이 모든 유체함입 파이프에서 관찰되었다. α_2 모드는 $C_{L,soil} > V$ 일 때 저주파수에서 나타나는 반면, α_3 모드는 $C_{L,soil} < V$ 일 때 존재하는 것을 확인하였다. 즉 이 두 모드는 평판의 솔트 모드와 유사하게 주변 매질에 크게 영향을 받는다는 사실을 검증하였다.

특정 모드가 저주파수에서 장거리를 전파할 수 있는지를 확인하기 위하여 누설에 의한 분산 모드 형상을 조사하였다. $L(0,1)$ 모드는 파이프 벽면에서 축방향 변위가 주요하게 나타나는 모드로 에너지 분산에 의해 쉽게 감쇠되어 사라지는 반면, α_1 모드는 유체 내에서 축방향 변위가 주요하게 나타나기 때문에 감쇠의 영향을 덜 받는 것을 확인하였다.

실제 토양에서 어떤 모드가 전파되고 그 때의 분산속도 예측결과를 증명하기 위하여 세 실험장소에서 실험을 수행하였다. 실험결과로부터 각 모드의 전파 가능거리도 예측할 수 있었다.

후 기

본 연구는 여수대학교 2004년도 학술연구비 지원으로 수행되었습니다.

참고 문헌

1. D. C. Gazis, 1959, "Three Dimensional Investigation of the Propagation of Waves in Hollow Circular Cylinders I", Journal of the Acoustic Society of America, Vol. 31, No. 5, pp. 568~578.
2. P. M. Morse, 1939, "Some Aspects of the Theory of Room Acoustics", Journal of the Acoustic Society of America, Vol. 11, No. 1, pp. 205~210.
3. B. K. Sinha, T. J. Plona, S. Kostek and S. K. Chang, 1992, "Axisymmetric Wave Propagation in Fluid-Loaded Cylindrical Shells. I: Theory", Journal of the Acoustic Society of America, Vol. 92, No. 5, pp. 1132~1143.
4. T. J. Plona, B. K. Sinha, S. Kostek and S. K. Chang, 1992, "Axisymmetric Wave Propagation in Fluid-Loaded Cylindrical Shells. I: Theory versus Experiment", Journal of the Acoustic Society of America, Vol. 92, No. 5, pp. 1144~1155.
5. C. Aristegui, P. Cawley and M. Lowe, 1999, "Guided Waves in Fluid-Filled Pipes Surrounded by Different Fluids: Prediction and Measurement", Review of the Progress in Quantitative NDE, Vol. 18a, 159~166.
6. D. A. Liston and J. D. Liston, 1992, "Leak Detection Techniques", Journal of the New England Water Works Association, Vol. 106, No. 2, pp. 103~108.
7. O. Hunaidi, W. Chu, A. Wang and W. Gaun, 1999, "Leak Detection Methods for Plastic Water Distribution Pipes", AWWA Research Foundation Technology Transfer Conference, Florida, pp. 234~247.
8. R. Long, K. Vine, M. Lowe and P. Cawley, 2001, "Monitoring Acoustic Wave Propagation in Buried Cast Iron Water Pipes", Review of the Progress in Quantitative NDE, Vol. 20b, 1202~1209.
9. R. Long, K. Vine, M. Lowe and P. Cawley, 2002, "The Effect of Soil Properties on Acoustic Wave Propagation in Buried Iron Water Pipes", Review of the Progress in Quantitative NDE, Vol. 21, 1310~1318.
10. M. J. S. Lowe, 1995, "Matrix Techniques for Modelling Ultrasonic Waves in Multilayered Media", IEEE Transactions on Ultrasonics, Ferroelectrics and Frequency Control, Vol. 42, pp. 525~542.
11. R. J. Pinnington and A. R. Briscoe, 1994, "Externally Applied Sensor for Axisymmetric Waves in a Fluid-Filled Pipe", Journal of Sound and Vibration, Vol. 173, No. 4, pp. 503~516.
12. J. L. Rose, 1999, "Ultrasonic Waves in Solid Media", Cambridge University Press(Chapter 2).